

POLITECHNIKA WROCŁAWSKA
WYDZIAŁ INFORMATYKI I TELEKOMUNIKACJI

Projektowanie efektywnych algorytmów

Algorytm genetyczny

ETAP NR 3

PROWADZĄCY:
dr inż. Jarosław Rudy

GRUPA:
A - Wtorek 17:05 TP

AUTOR:
Daniel Glazer, 252743

Wrocław 23.01.2022

Spis treści

1	Wprowadzenie teoretyczne	5
1.1	Opis metody	5
1.1.1	Algorytm genetyczny	5
2	Opis implementacji algorytmu	6
2.1	Wstęp	6
2.2	Parametry startowe algorytmu	6
2.3	Opis działania	6
2.4	Opis metod selekcji	7
2.4.1	Selekcja koła ruletki	7
2.4.2	Selekcja rankingowa	7
2.4.3	Selekcja turniejowa	7
2.5	Operatory krzyżowania	8
2.5.1	Partially Mapped Crossover (PMX)	8
2.5.2	Order Crossover Operator (OX)	8
2.6	Teoretyczne oszacowanie złożoności	9
2.6.1	Czasowa złożoność	9
2.6.2	Pamięciowa złożoność	9
3	Testy zaimplementowanego algorytmu	10
3.1	Poprawność badanego algorytmu	10
3.2	Wpływ poszczególnych parametrów na prace algorytmu	12
3.2.1	Probability	12
3.2.2	PopulationSize	14
3.2.3	PopulationCopyNumber	16
3.2.4	GenerationNumber	18
3.2.5	SelectionType	20
3.2.6	CrossoverType	21
3.3	Zbadanie praktycznej złożoności czasowej algorytmu	22
3.3.1	Zależność od <i>populationSize</i>	22
3.3.2	Zależność od <i>generationNumber</i>	23
3.3.3	Zależność od <i>n</i>	24
4	Wnioski	25

Spis tabel

1	Tabela wpływu prawdopodobieństwa na czas wykonywania się algorytmu w sekundach	12
2	Tabela wpływu prawdopodobieństwa na błąd względny wyrażony w procentach	13
3	Tabela wpływu parametru <i>populationSize</i> na czas wykonywania się algorytmu w sekundach .	14
4	Tabela wpływu parametru <i>populationSize</i> na błąd względny wyrażony w procentach	15
5	Tabela wpływu liczby kopiowanych osobników na czas wykonywania się algorytmu w sekundach	16
6	Tabela wpływu liczby kopiowanych osobników na błąd względny wyrażony w procentach . . .	17
7	Tabela wpływu liczby generacji na czas wykonywania się algorytmu w sekundach	18
8	Tabela wpływu liczby generacji na błąd względny wyrażony w procentach	19
9	Tabela wpływu selekcji na czas wykonywania się algorytmu w sekundach	20
10	Tabela wpływu selekcji na błąd względny wyrażony w procentach	20
11	Tabela wpływu rodzaju krzyżowania na czas wykonywania się algorytmu w sekundach	21
12	Tabela wpływu rodzaju krzyżowania na błąd względny wyrażony w procentach	21
13	Tabela złożoności czasowej dla zmiennego parametru <i>populationSize</i>	22
14	Tabela złożoności czasowej dla zmiennej liczby generacji	23
15	Tabela złożoności czasowej dla zmiennej wielkości instancji	24

Spis rysunków

1	Badanie poprawności algorytmu dla pliku m6.atsp, porównując otrzymane wyniki z algorytmem symulowanego wyżarzania	10
2	Badanie poprawności algorytmu dla pliku m10.atsp, porównując otrzymane wyniki z algorytmem symulowanego wyżarzania	11
3	Wykres wpływu prawdopodobieństwa na czas wykonywania się algorytmu w zależności od wielkości instancji	12
4	Wykres wpływu prawdopodobieństwa na błąd względny wyniku algorytmu w zależności od wielkości instancji	13
5	Wykres wpływu parametru <i>populationSize</i> na czas wykonywania się algorytmu w zależności od wielkości instancji	14
6	Wykres wpływu parametru <i>populationSize</i> na błąd względny wyniku algorytmu w zależności od wielkości instancji	15
7	Wykres wpływu liczby kopiowanych osobników na czas wykonywania się algorytmu w zależności od wielkości instancji	16
8	Wykres wpływu liczby kopiowanych osobników na błąd względny wyniku algorytmu w zależności od wielkości instancji	17
9	Wykres wpływu liczby generacji na czas wykonywania się algorytmu w zależności od wielkości instancji	18
10	Wykres wpływu liczby generacji na błąd względny wyniku algorytmu w zależności od wielkości instancji	19
11	Wykres wpływu selekcji na czas wykonywania się algorytmu w zależności od wielkości instancji	20
12	Wykres wpływu selekcji na błąd względny wyniku algorytmu w zależności od wielkości instancji	20
13	Wykres wpływu rodzaju krzyżowania na czas wykonywania się algorytmu w zależności od wielkości instancji	21
14	Wykres wpływu rodzaju krzyżowania na błąd względny wyniku algorytmu w zależności od wielkości instancji	21
15	Wykres złożoności uśrednionej i teoretycznej dla zmiennego parametru <i>populationSize</i>	22
16	Wykres złożoności uśrednionej i teoretycznej dla zmiennej liczby generacji	23
17	Wykres złożoności uśrednionej i teoretycznej dla zmiennej wielkości instancji	24

1 Wprowadzenie teoretyczne

1.1 Opis metody

1.1.1 Algorytm genetyczny

Algorytm genetyczny (ang. *Genetic Algorithm (GA)*) jest jednym z metaheurystycznych algorytmów przeszukujących przestrzeń alternatywnych rozwiązań problemu. Swoje założenia bierze z naturalnego procesu ewolucji biologicznej i zalicza się do algorytmów ewolucyjnych. W trakcie ewolucji gatunki stykają się z problemem lepszej adaptacji do skomplikowanego i zmiennego środowiska. Problem ten można też przełożyć na sposób przeszukiwania przestrzeni problemu, w taki sposób, że naśladuje on pewne procesy naturalne, takie jak dziedziczenie genetyczne czy darwinowską walkę o przeżycie. Dlatego też do opisu algorytmu genetycznego używa się słownictwa zapożyczonego z genetyki naturalnej. Mówi się o populacji, która zawiera osobniki lub inaczej zwane chromosomy, każdy chromosom zawiera geny, które świadczą o jakiejś cesze. W przypadku problemu *TSP*, populacja to zbiór rozwiązań problemu. Każde jedno rozwiązanie zapisane jest w jednym chromosomie, a geny odpowiadają za kolejne wierzchołki ścieżki. Aby zastosować algorytm w zadaniach optymalizacyjnych stosuje się go według struktury algorytmu ewolucyjnego. Działanie algorytmu rozpoczyna się od wylosowania populacji początkowej, następnie stosuje się metody selekcji, które mają za zadanie wybrać chromosomy do krzyżowania. Podczas krzyżowania wymieniane są geny osobników w celu utworzenia potomków, zawierających połączone geny rodziców. Potem przeprowadzana jest mutacja, która polega na losowej zmianie jednego lub więcej genów wybranego osobnika. Ma to na celu wprowadzenie dodatkowej zmienności w populacji. W kolejnym kroku populacja przechodzi do następnej generacji, w której zostawia się określoną liczbę osobników. Algorytm ten charakteryzuje się brakiem pewności znalezienia optimum brak jawnie sprecyzowanej złożoności obliczeniowej, ponieważ praca algorytmu kończy się wraz z warunkiem zakończenia, który jest zależny od parametrów.

Szczególnym przypadkiem algorytmu genetycznego jest algorytm memetyczny nazywany również hybrydowym algorytmem ewolucyjnym. Różni się od zwykłego algorytmu genetycznego tym, że poprzez dołączenie algorytmu poszukiwań lokalnych do metody wyboru najlepszego sąsiedztwa podczas mutacji, można uzyskać zdecydowaną poprawę osiągnięć algorytmu. Wynika to z tego, że algorytmy ewolucyjne są dobre w odnajdywaniu obszaru, w którym znajduje się optimum, ale kiepsko radzą sobie w odnalezieniu optimum lokalnego wewnątrz tego obszaru.

2 Opis implementacji algorytmu

2.1 Wstęp

Na starcie wywoływanego algorytmu, wywoływana jest klasa *Matrix*, której celem jest wczytanie danych z pliku i utworzenie dwuwymiarowej tablicy dynamicznej posiadającej długości ścieżek.

2.2 Parametry startowe algorytmu

- probability - współczynnik odpowiadający za prawdopodobieństwo wystąpienia mutacji dla potomka
- populationSize - liczba krzyżowań w jednej generacji
- populationCopyNumber - początkowa liczba osobników oraz liczba przenoszonych osobników do kolejnej generacji
- generationNumber - liczba generacji
- selectionType - parametr odpowiadający za wybór sposobu selekcji rodziców do krzyżowania, gdzie:
 0. selekcja koła ruletki
 1. selekcja turniejowa
 2. selekcja rankingowa
- crossoverType - parametr pozwalający na wybranie jednej z dwóch metod krzyżownia, gdzie:
 0. *Partially Mapped Crossover*
 1. *Order Crossover Operator*

2.3 Opis działania

Działanie algorytmu rozpoczyna się od podania parametrów startowych. Następnie za pomocą funkcji *shuffle* z biblioteki *algorithm* generowana jest populacja startowa, której wielkość zależy od parametru *populationCopyNumber*. Podczas generowania osobników, obliczany jest dla nich koszt ścieżki, który następnie zapisywany jest do mapy wraz z wektorem zawierającym kolejność wierzchołków w ścieżce. Jeśli koszt ścieżki będzie mniejszy niż obecne najlepsze rozwiązanie, wartość najlepszego rozwiązania zostaje nadpisana wraz z ścieżką, dla której zostało policzone najlepsze rozwiązanie. W kolejnym kroku wywoływana jest metoda odpowiedzialna za funkcjonowanie głównej pętli programu. Główna pętla programu zawiera zagnieżdżoną pętlę, której liczba iteracji jest zależna od parametru *populationSize*. Na początku każdej iteracji wewnętrznej pętli tworzone są dwa wektory wypełnione zerami odpowiadające za ścieżki potomków. W kolejnym kroku na podstawie parametru *selectionType* wykorzystywana jest jedna z trzech metod selekcji. Metoda selekcji zwraca indeksy rodziców przechowywanych w mapie. Następnie rodzice wraz z wektorami potomków są przekazywani do jednej z dwóch metod krzyżowania zależnych od *crossoverType*. Po krzyżowaniu osobników i uzupełnieniu

potomków genami, obliczana jest dla nich wartość ścieżki. Po obliczeniu kosztu drogi, potomkowie są porównywani z globalnie najlepszym rozwiązaniem. W momencie, w którym posiadają lepsze rozwiązanie, zastępują je. Przed samym zakończeniem zagnieżdżonej pętli, sprawdzany jest warunek wystąpienia mutacji. Jeśli wylosowane prawdopodobieństwo jest mniejsze niż *probability* i większe niż 0.1 to zostanie wykonana mutacja na podstawie przeszukiwania całego sąsiedztwa. W poszukiwaniu uwzględniona jest taka zamiana wierzchołków, która jest najlepszym lokalnym rozwiązaniem. Aby uniknąć zbiegania algorytmu oraz w idei dywersyfikacji dla wylosowanego prawdopodobieństwa mniejszego i równego 0.1 wykonuje się metoda, która dokonuje zamiany wierzchołków w sposób losowy. Taki sposób może doprowadzić do lokalnie gorszego rozwiązania, ale w kolejnych iteracjach istnieje szansa, że znajdzie rozwiązanie lepsze niż obecne najlepsze rozwiązanie globalne. Osobnik, który jest zmutowaną wersją potomka dodawany jest do populacji. Po otrzymaniu warunku stopu dla zagnieżdżonej pętli, wykonywane jest sortowanie populacji, po którym następuje skopiowanie najlepszych osobników z populacji o liczbie równej *populationCopyNumber* do populacji z kolejnej generacji, po skopiowaniu zwiększamy iterator głównej pętli. Dla głównej pętli warunkiem stopu jest liczba iteracji, która nie przekroczy parametru odpowiedzialnego za liczbę generacji (*generationNumber*). Po otrzymaniu warunku stopu dla pętli głównej, program wyświetla najlepsze znalezione rozwiązanie i kończy swoje działanie.

2.4 Opis metod selekcji

2.4.1 Selekcja koła ruletki

Selekcja koła ruletki wprowadza do implementacji dodatkowy element, którym jest tablica zdatności. Tablica ta zawiera prawdopodobieństwa na wybranie osobników populacji. Prawdopodobieństwa są liczone na podstawie odchylenia od obecnego najlepszego rozwiązania. Im rozwiązanie jest gorsze tym ma mniejsze prawdopodobieństwo na wybranie. Aby wybrać chromosomy metodą koła ruletki, należy sumować prawdopodobieństwa zapisane w tablicy do momentu aż przekroczą, lub będą równe wartości prawdopodobieństwa, które zostało wylosowane. W takim momencie zwracany jest osobnik, dla którego suma spełniła warunek.

2.4.2 Selekcja rankingowa

Selekcja rankingowa podobnie jak koła ruletki wprowadza tablicę zdatności. Odróżnia ją jedynie sposób liczenia prawdopodobieństwa. Prawdopodobieństwo jest liczone na podstawie pozycji w rankingu posortowanej populacji. Pierwszy osobnik ma największą szansę na wylosowanie, a każdy kolejny mniejszą od poprzedniego. Tak samo jak w przypadku selekcji koła ruletki sumujemy prawdopodobieństwa i zwracamy osobnika, dla którego zostanie spełniony warunek przekroczenia lub równości sumy.

2.4.3 Selekcja turniejowa

Selekcja turniejowa opiera się na algorytmie, w którym losuje się 2 osobników i wybiera się najlepszego z nich. Aby móc wybrać dwóch osobników do krzyżowania, potrzeba przeprowadzić dwie takie selekcje.

2.5 Operatory krzyżowania

2.5.1 Partially Mapped Crossover (PMX)

Wybierane są losowo dwa punkty przecięcia (w tym wypadku "|") w rodzicach aby móc je przekopiować do potomków. W taki sposób, że z rodzica o indeksie 1 (R_1) kopiowany jest obszar wycięcia do dziecka o indeksie 2 (D_2) i schemat powtarzany jest dla rodzica 2 i dziecka 1:

$$R_1 = (3\ 4\ |\ 8\ 2\ 7\ 1\ |\ 6\ 5)$$

$$R_2 = (4\ 2\ |\ 5\ 1\ 6\ 8\ |\ 3\ 7)$$

$$D_1 = (x\ x\ |\ 5\ 1\ 6\ 8\ |\ x\ x)$$

$$D_2 = (x\ x\ |\ 8\ 2\ 7\ 1\ |\ x\ x)$$

Następnie kopiowane są liczby na tych samym pozycjach z $R_1 \rightarrow D_1$ i $R_2 \rightarrow D_2$, które nie występują w poszczególnych chromosomach:

$$D_1 = (3\ 4\ |\ 5\ 1\ 6\ 8\ |\ x\ x)$$

$$D_2 = (4\ x\ |\ 8\ 2\ 7\ 1\ |\ 3\ x)$$

W ostatnim kroku mapowane są wierzchołki w miejscach, w których nie udało się wprowadzić żadnej liczby. Dla przykładu na przedostatnim indeksie D_1 próbowano przepisać 6 z rodzica R_1 , ale istniała już w tablicy genów, dlatego też mapujemy ją na liczbę z drugiego potomka, więc uzyskujemy, że $6 \rightarrow 7$. Na ostatnim indeks próbowano przepisać 5, 5 mapowana jest na 8, która występuje już w chromosomie, więc próbujemy mapować dalej aż dochodzimy do tego, że $5 \rightarrow 8 \rightarrow 1 \rightarrow 2$. Ostatecznie wpisujemy na ostatnim indeksie 2, w analogiczny sposób robimy to dla drugiego potomka i otrzymujemy:

$$D_1 = (3\ 4\ |\ 5\ 1\ 6\ 8\ |\ 7\ 2)$$

$$D_2 = (4\ 5\ |\ 8\ 2\ 7\ 1\ |\ 3\ 6)$$

2.5.2 Order Crossover Operator (OX)

Podobnie jak w przypadku Partially Mapped Crossover wybierane są losowo dwa punkty przecięcia w rodzicach. Ale w odróżnieniu od *PMX* kopiowane są obszary z rodzica do dziecka o tych samych indeksach:

$$R_1 = (3\ 4\ |\ 8\ 2\ 7\ 1\ |\ 6\ 5)$$

$$R_2 = (4\ 2\ |\ 5\ 1\ 6\ 8\ |\ 3\ 7)$$

$$D_1 = (x\ x\ |\ 8\ 2\ 7\ 1\ |\ x\ x)$$

$$D_2 = (x\ x\ |\ 5\ 1\ 6\ 8\ |\ x\ x)$$

Następnie tworzona jest sekwencja kolejnych wierzchołków dla rodziców. Sekwencja ta zaczyna się od drugiego punktu przecięcia czyli dla R_1 jest to $6 \rightarrow 5 \rightarrow 3 \rightarrow 4 \rightarrow 8 \rightarrow 2 \rightarrow 7 \rightarrow 1$. W kolejnym kroku usuwamy liczby, które występują już w D_2 . Po usunięciu liczb, sekwencja wygląda w taki sposób: $3 \rightarrow 4 \rightarrow 2 \rightarrow 7$. Tą sekwencję umieszczamy w drugim potomku od miejsca drugiego punktu cięcia. Analogicznie robimy dla R_2 i D_1 i otrzymujemy:

$$D_1 = (5\ 6\ |\ 8\ 2\ 7\ 1\ |\ 3\ 4)$$

$$D_2 = (2\ 7\ |\ 5\ 1\ 6\ 8\ |\ 3\ 4)$$

2.6 Teoretyczne oszacowanie złożoności

2.6.1 Czasowa złożoność

Algorytm zawiera dwie zagnieżdżone pętle, które wykonują się $\text{populationSize} \cdot \text{generationNumber}$ razy, w każdej generacji wykonuje się sortowanie wszystkich osobników populacji metodą $\text{std::sort}()$, której złożoność wynosi $O(N \cdot \log_2(N))$. Liczba osobników, która jest sortowana może wynosić $x = 4 \cdot \text{populationSize} + \text{populationCopyNumber}$ (gdzie $\text{populationSize} > \text{populationCopyNumber}$), ponieważ w każdej iteracji wewnętrznej pętli tworzonych jest dwóch potomków, a każdy z nich może zmutować co daje maksymalnie 4 osobników na iterację. Dla selekcji koła ruletki i selekcji rankingowej również wykonywane jest sortowanie populacji oraz wykonywane są trzy pętle związane z zdatnością, z których każda wykonuje się populationSize razy. Następnie wykonywane jest krzyżowanie dwóch osobników. Rozpoczyna się od kopiowania w pętli obszaru przecięcia, która wykonuje się maksymalnie $n - 1$ razy (gdzie n to rozmiar instancji), potem kopiowany jest obszar, który nie został wcześniej skopiowany. Wykonywane jest to maksymalnie w dwóch pętlach o limicie iteracji nie przekraczającym n . Na sam koniec pętli wewnętrznej wykonywana jest mutacja dla maksymalnie dwóch osobników, którzy mogą wyznaczać mutacje na podstawie przeszukiwania sąsiedztwa w dwóch zagnieżdżonych pętlach wykonywających się maksymalnie $(n-3)(n-2)$ razy. Podsumowując otrzymujemy złożoność:

$$\begin{aligned}
 &O(\text{generationNumber}(x \log_2 x) + \text{generationNumber populationSize}(x \log_2 x + 3x + (n-1) + 2n + (n-3)(n-2))) \\
 &\quad O(\text{generationNumber} \cdot (x \log_2 x + \text{populationSize}(x \log_2 x + n^2))) \\
 &\quad O(\text{generationNumber} \cdot (\text{populationSize}^2 \cdot \log_2(\text{populationSize}) + \text{populationSize } n^2)) \\
 &\quad O(\text{generationNumber} \cdot \text{populationSize}(\text{populationSize} \cdot \log_2(\text{populationSize}) + n^2))
 \end{aligned}$$

2.6.2 Pamięciowa złożoność

Algorytm zawiera mapę, która przechowuje wszystkich osobników populacji $4 \cdot \text{populationSize} + \text{populationCopyNumber}$. Każdy osobnik zawiera koszt ścieżki i ścieżkę czyli $n + 1$. Oraz istnieje wektor zdatności, którzy jest o rozmiarze populacji, więc złożoność pamięciowa wynosi:

$$\begin{aligned}
 &O((4 \text{ populationSize} + \text{populationCopyNumber}) \cdot (n + 1) + (4 \text{ populationSize} + \text{populationCopyNumber})) \\
 &\quad O(\text{populationSize} \cdot n)
 \end{aligned}$$

3 Testy zaimplementowanego algorytmu

3.1 Poprawność badanego algorytmu

```
Otworzono plik m6.atsp
Wczytano dane
Podaj prawdopodobienstwo
0.6
Podaj rozmiar populacji
50
Podaj liczbe kopiowanych osobnikow
10
Podaj liczbe generacji
1
Podaj rodzaj selekcji
0 - selekcja kola ruletki
1 - selekcja turniejowa
2 - selekcja rankingowa
1
Podaj typ krzyzowania
0 - Partially Mapped Crossover
1 - Order Crossover Operator
1
0 152 90%
4 146 82.5%
7 118 47.5%
3 100 25%
13 98 22.5%
33 80 0%
1->2->3->4->0->5->1
50 80 0%
```

(a) Algorytm genetyczny

```
Otworzono plik m6.atsp
Wczytano dane
Podaj startowy wierzcholek
0
Podaj alfe
0.99
Podaj liczbe epok
100
Podaj liczbe iteracji w epoce
100
Podaj startowa temperature
0
0 159 98.75%
9 118 47.5%
21 116 45%
99 100 25%
149 92 15%
154 85 6.25%
164 80 0%
0->5->1->2->3->4->0
80
```

(b) Symulowane wyżarzanie

Rysunek 1: Badanie poprawności algorytmu dla pliku m6.atsp, porównując otrzymane wyniki z algorytmem symulowanego wyżarzania

```

Otworzono plik m10.atsp
Wczytano dane
Podaj prawdopodobienstwo
0.6
Podaj rozmiar populacji
10
Podaj liczbe kopiowanych osobnikow
5
Podaj liczbe generacji
300
Podaj rodzaj selekcji
0 - selekcja kola ruletki
1 - selekcja turniejowa
2 - selekcja rankingowa
0
Podaj typ krzyzowania
0 - Partially Mapped Crossover
1 - Order Crossover Operator
1
0 462    117.925%
0 408    92.4528%
1 332    56.6038%
12 319   50.4717%
12 270   27.3585%
37 240   13.2075%
91 212   0%
2->4->3->0->5->1->9->6->7->8->2
3000 212   0%

```

(a) Algorytm genetyczny

```

Otworzono plik m10.atsp
Wczytano dane
Podaj startowy wierzcholek
0
Podaj alfe
0.99
Podaj liczbe epok
100
Podaj liczbe iteracji w epoce
1000
Podaj startowa temperature
0
0    576    171.698%
1    549    158.962%
2    511    141.038%
3    475    124.057%
8    426    100.943%
24   388    83.0189%
185   347    63.6792%
253   345    62.7359%
409   317    49.5283%
626   274    29.2453%
790   271    27.8302%
1311  265    25%
7238  244    15.0943%
38952 239    12.7358%
47992 234    10.3774%
53531 219    3.30189%
88997 212    0%
0->3->4->2->8->7->6->9->1->5->0
212

```

(b) Symulowane wyżarzanie

Rysunek 2: Badanie poprawności algorytmu dla pliku m10.atsp, porównując otrzymane wyniki z algorytmem symulowanego wyżarzania

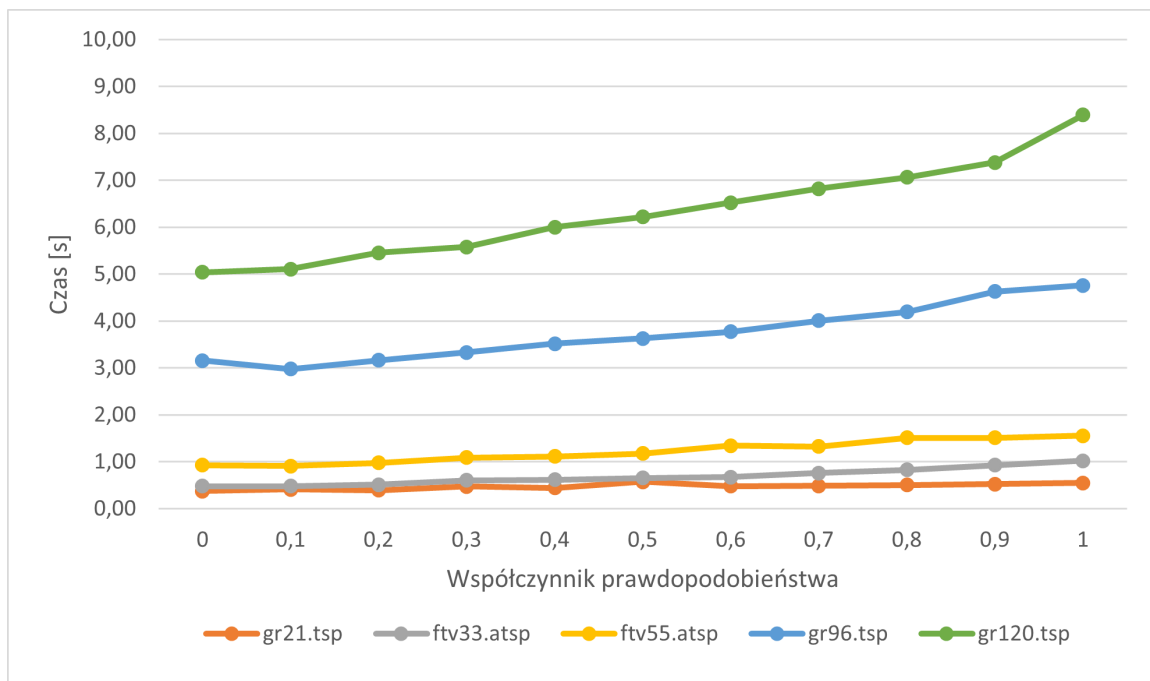
3.2 Wpływ poszczególnych parametrów na prace algorytmu

3.2.1 Probability

W ramach tej części testów wybrano 5 instancji, na podstawie, których przeprowadzono testy mające na celu pokazanie wpływu na czas i wartość błędu względnego poszczególnych parametrów.

Prawd.	Nazwa instancji				
	gr21.tsp	ftv33.atsp	ftv55.atsp	gr96.tsp	gr120.tsp
0	0,37	0,48	0,93	3,16	5,04
0,1	0,41	0,48	0,91	2,97	5,11
0,2	0,39	0,51	0,98	3,16	5,46
0,3	0,48	0,61	1,09	3,33	5,58
0,4	0,44	0,62	1,11	3,52	6,00
0,5	0,57	0,65	1,18	3,63	6,22
0,6	0,48	0,67	1,34	3,77	6,52
0,7	0,49	0,76	1,33	4,01	6,82
0,8	0,51	0,83	1,51	4,19	7,07
0,9	0,52	0,93	1,51	4,63	7,38
1	0,55	1,02	1,56	4,76	8,40

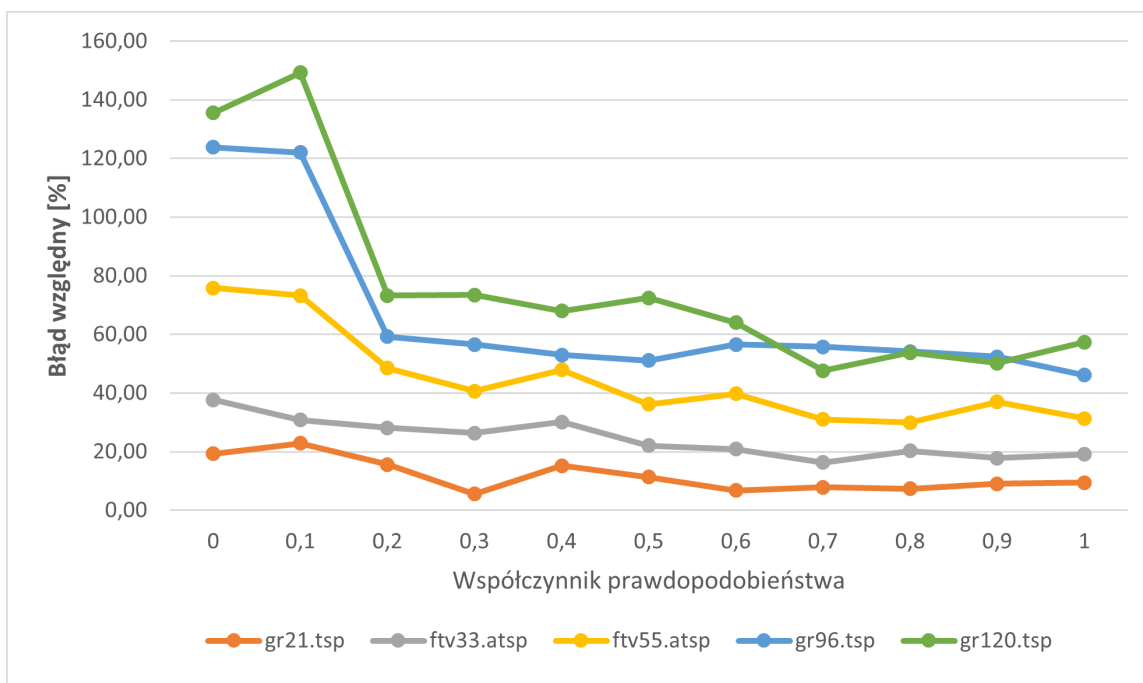
Tabela 1: Tabela wpływu prawdopodobieństwa na czas wykonywania się algorytmu w sekundach



Rysunek 3: Wykres wpływu prawdopodobieństwa na czas wykonywania się algorytmu w zależności od wielkości instancji

Prawd.	Nazwa instancji				
	gr21.tsp	ftv33.atsp	ftv55.atsp	gr96.tsp	gr120.tsp
0	19,28	37,65	75,81	123,86	135,51
0,1	22,91	30,78	73,22	121,99	149,26
0,2	15,62	28,12	48,54	59,23	73,29
0,3	5,56	26,38	40,63	56,58	73,49
0,4	15,18	30,14	47,91	52,95	67,95
0,5	11,35	22,02	36,13	51,10	72,42
0,6	6,79	20,86	39,79	56,52	63,98
0,7	7,86	16,27	31,00	55,80	47,56
0,8	7,34	20,28	29,95	54,14	53,78
0,9	9,06	17,74	36,99	52,32	50,18
1	9,49	19,11	31,31	46,08	57,30

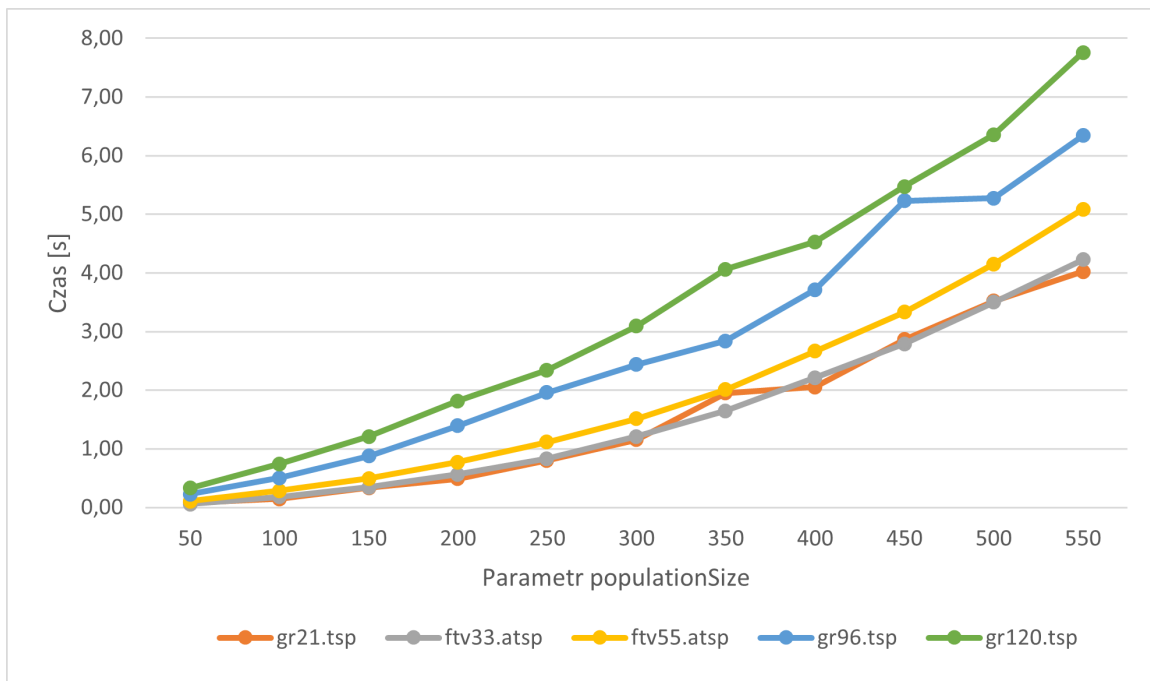
Tabela 2: Tabela wpływu prawdopodobieństwa na błąd względny wyrażony w procentach



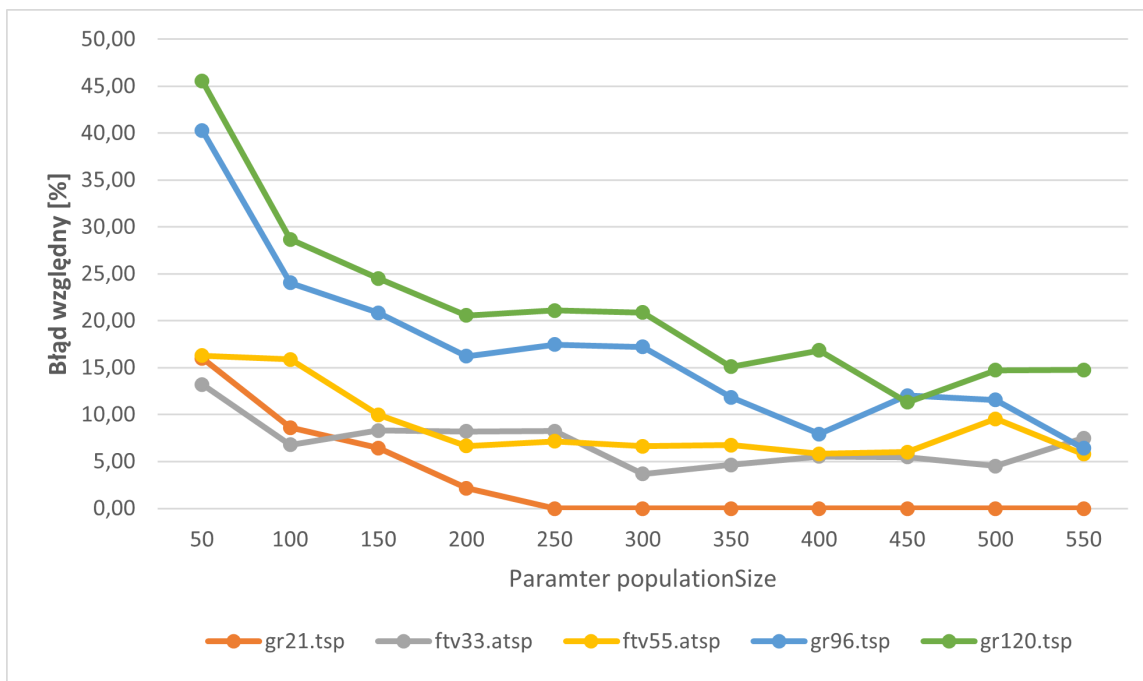
Rysunek 4: Wykres wpływu prawdopodobieństwa na błąd względny wyniku algorytmu w zależności od wielkości instancji

3.2.2 PopulationSize

Populacja	Nazwa instancji				
	gr21.tsp	ftv33.atsp	ftv55.atsp	gr96.tsp	gr120.tsp
50	0,08	0,06	0,11	0,23	0,33
100	0,15	0,18	0,28	0,51	0,74
150	0,34	0,35	0,49	0,88	1,21
200	0,49	0,57	0,77	1,39	1,82
250	0,80	0,83	1,12	1,96	2,34
300	1,16	1,21	1,51	2,44	3,09
350	1,95	1,64	2,01	2,84	4,06
400	2,06	2,21	2,67	3,71	4,53
450	2,87	2,79	3,33	5,23	5,47
500	3,52	3,50	4,15	5,27	6,36
550	4,02	4,22	5,09	6,34	7,76

Tabela 3: Tabela wpływu parametru *populationSize* na czas wykonywania się algorytmu w sekundachRysunek 5: Wykres wpływu parametru *populationSize* na czas wykonywania się algorytmu w zależności od wielkości instancji

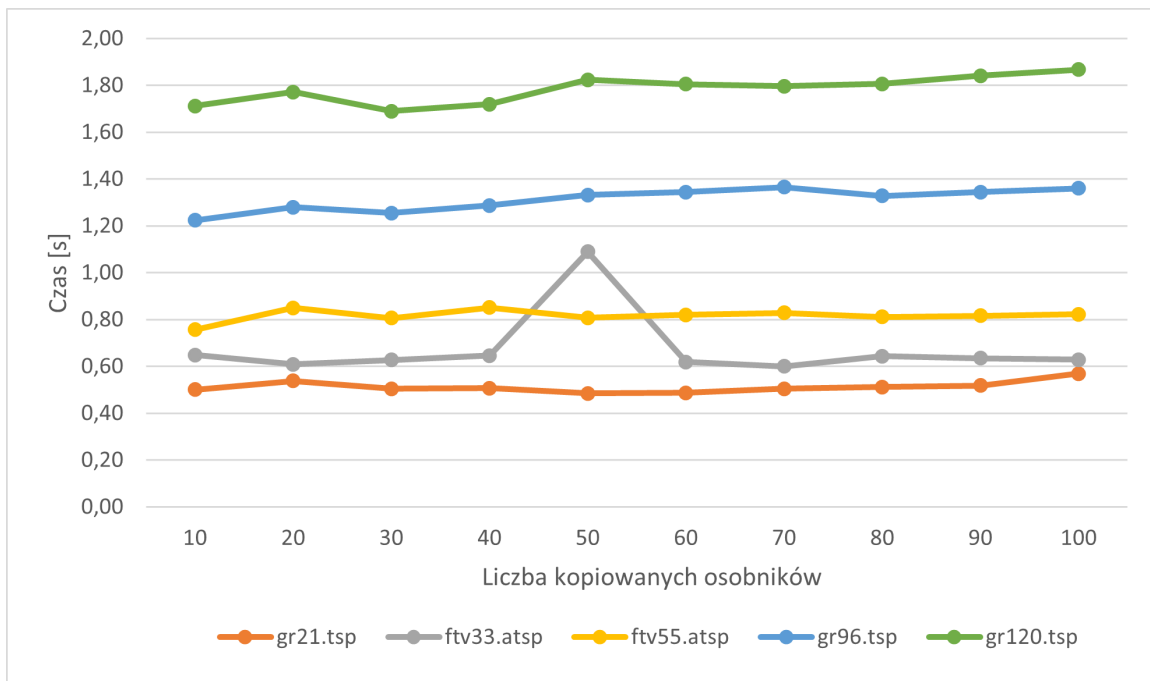
Populacja	Nazwa instancji				
	gr21.tsp	ftv33.atsp	ftv55.atsp	gr96.tsp	gr120.tsp
50	0,08	0,06	0,11	0,23	0,33
100	0,15	0,18	0,28	0,51	0,74
150	0,34	0,35	0,49	0,88	1,21
200	0,49	0,57	0,77	1,39	1,82
250	0,80	0,83	1,12	1,96	2,34
300	1,16	1,21	1,51	2,44	3,09
350	1,95	1,64	2,01	2,84	4,06
400	2,06	2,21	2,67	3,71	4,53
450	2,87	2,79	3,33	5,23	5,47
500	3,52	3,50	4,15	5,27	6,36
550	4,02	4,22	5,09	6,34	7,76

Tabela 4: Tabela wpływu parametru *populationSize* na błąd względny wyrażony w procentachRysunek 6: Wykres wpływu parametru *populationSize* na błąd względny wyniku algorytmu w zależności od wielkości instancji

3.2.3 PopulationCopyNumber

L. kopiowanych osobników	Nazwa instancji				
	gr21.tsp	ftv33.atsp	ftv55.atsp	gr96.tsp	gr120.tsp
10	0,50	0,65	0,76	1,22	1,71
20	0,54	0,61	0,85	1,28	1,77
30	0,50	0,63	0,81	1,25	1,69
40	0,51	0,65	0,85	1,29	1,72
50	0,48	1,09	0,81	1,33	1,82
60	0,49	0,62	0,82	1,35	1,80
70	0,50	0,60	0,83	1,37	1,80
80	0,51	0,64	0,81	1,33	1,81
90	0,52	0,64	0,82	1,34	1,84
100	0,57	0,63	0,82	1,36	1,87

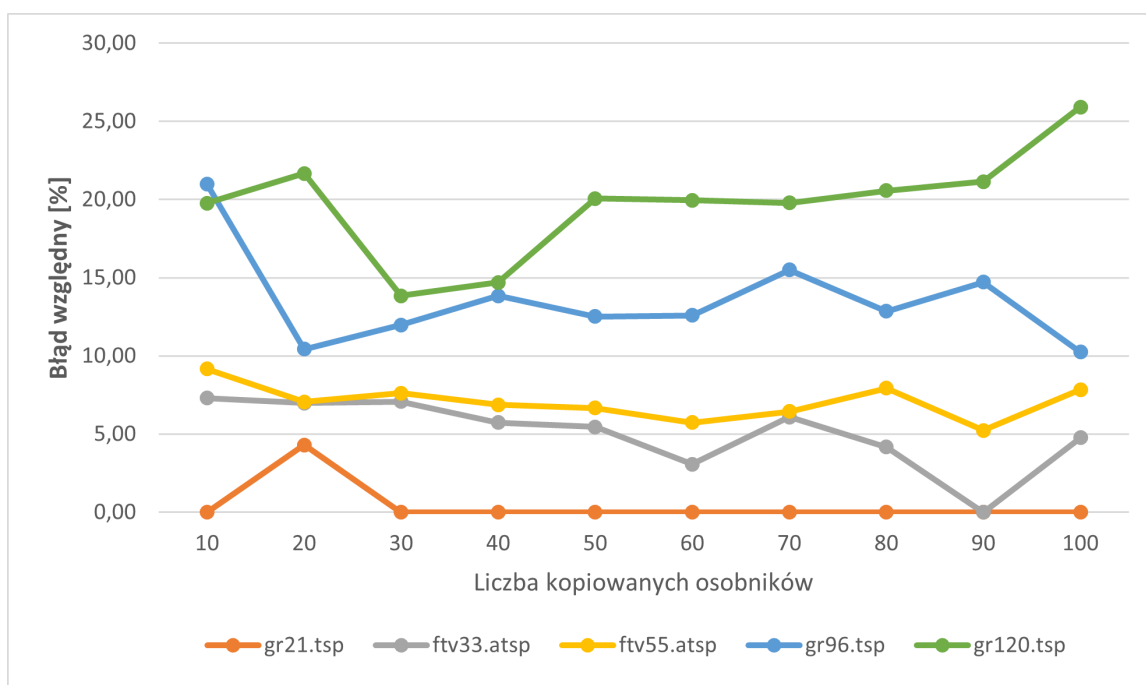
Tabela 5: Tabela wpływu liczby kopiowanych osobników na czas wykonywania się algorytmu w sekundach



Rysunek 7: Wykres wpływu liczby kopiowanych osobników na czas wykonywania się algorytmu w zależności od wielkości instancji

L. kopiowanych osobników	Nazwa instancji				
	gr21.tsp	ftv33.atsp	ftv55.atsp	gr96.tsp	gr120.tsp
10	0,00	7,31	9,17	20,99	19,77
20	4,30	6,98	7,06	10,42	21,67
30	0,00	7,08	7,61	11,97	13,85
40	0,00	5,74	6,87	13,84	14,69
50	0,00	5,46	6,67	12,51	20,07
60	0,00	3,06	5,73	12,58	19,95
70	0,00	6,08	6,44	15,49	19,78
80	0,00	4,17	7,94	12,86	20,57
90	0,00	0,00	5,24	14,71	21,15
100	0,00	4,76	7,84	10,25	25,91

Tabela 6: Tabela wpływu liczby kopiowanych osobników na błąd względny wyrażony w procentach

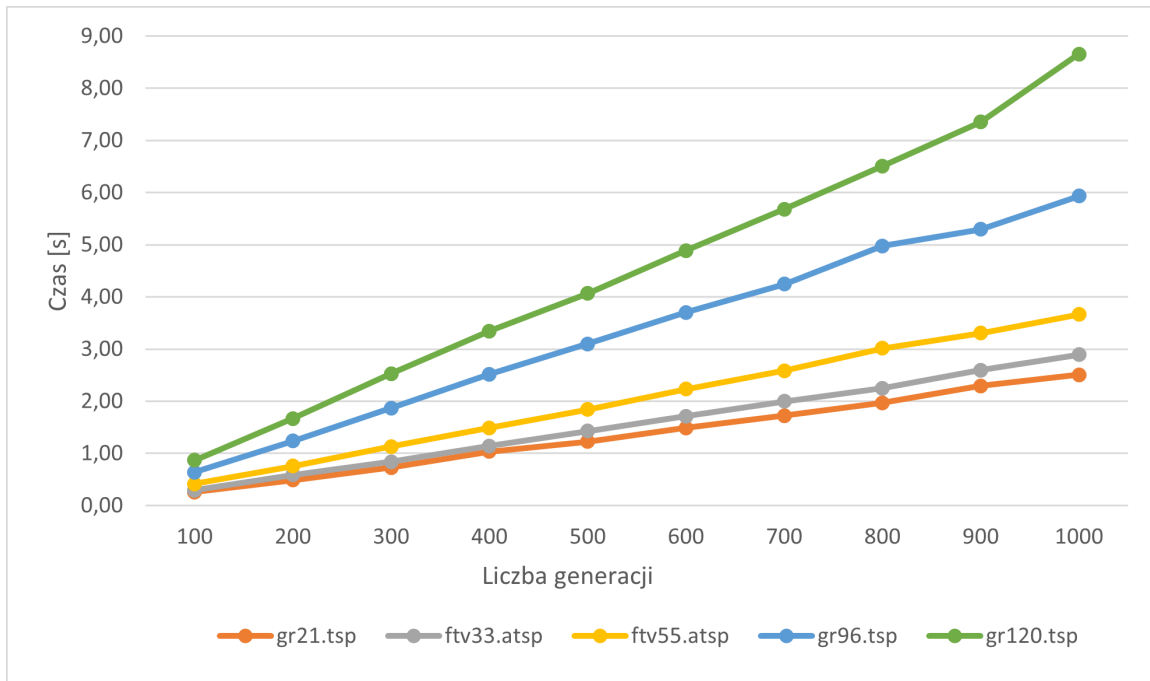


Rysunek 8: Wykres wpływu liczby kopiowanych osobników na błąd względny wyniku algorytmu w zależności od wielkości instancji

3.2.4 GenerationNumber

Liczba generacji	Nazwa instancji				
	gr21.tsp	ftv33.atsp	ftv55.atsp	gr96.tsp	gr120.tsp
100	0,26	0,29	0,42	0,64	0,87
200	0,49	0,59	0,76	1,24	1,67
300	0,73	0,84	1,14	1,87	2,53
400	1,04	1,14	1,49	2,52	3,35
500	1,23	1,43	1,84	3,10	4,07
600	1,49	1,71	2,23	3,70	4,89
700	1,72	2,00	2,59	4,25	5,68
800	1,97	2,25	3,01	4,98	6,51
900	2,29	2,59	3,31	5,30	7,35
1000	2,51	2,89	3,66	5,93	8,66

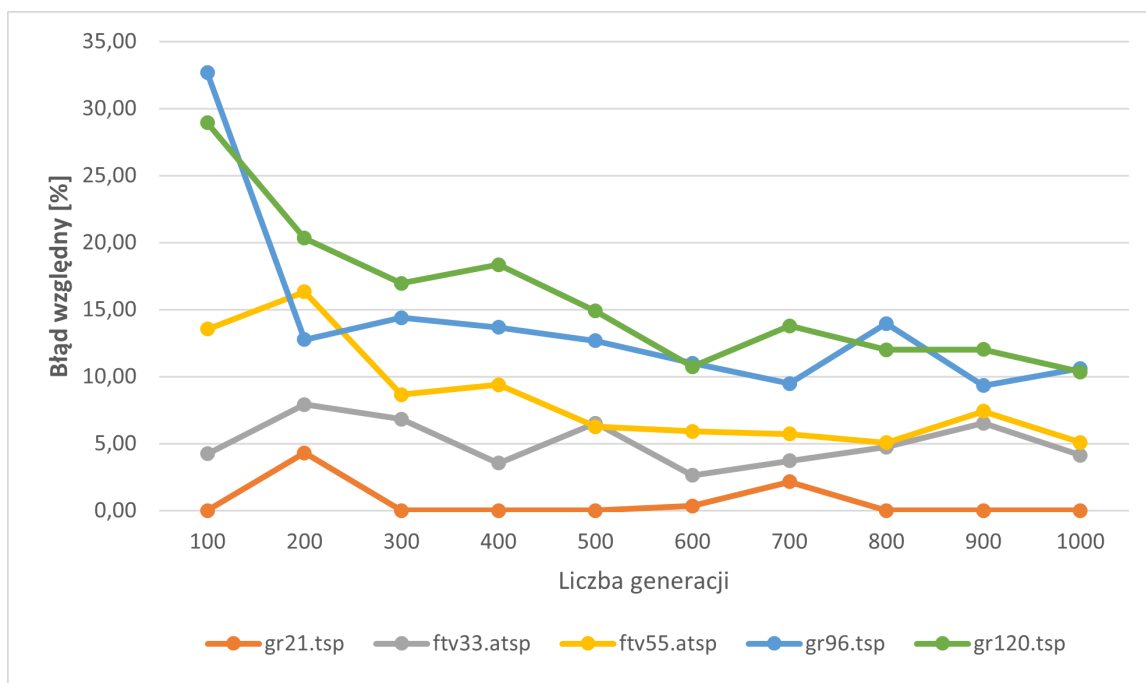
Tabela 7: Tabela wpływu liczby generacji na czas wykonywania się algorytmu w sekundach



Rysunek 9: Wykres wpływu liczby generacji na czas wykonywania się algorytmu w zależności od wielkości instancji

Liczba generacji	Nazwa instancji				
	gr21.tsp	ftv33.atsp	ftv55.atsp	gr96.tsp	gr120.tsp
100	0,00	4,23	13,54	32,67	28,93
200	4,30	7,92	16,33	12,76	20,32
300	0,00	6,83	8,66	14,38	16,95
400	0,00	3,55	9,38	13,68	18,34
500	0,00	6,52	6,26	12,68	14,88
600	0,35	2,63	5,92	10,99	10,73
700	2,15	3,72	5,72	9,46	13,78
800	0,00	4,73	5,07	13,94	12,01
900	0,00	6,52	7,41	9,33	12,01
1000	0,00	4,12	5,10	10,60	10,34

Tabela 8: Tabela wpływu liczby generacji na błąd względny wyrażony w procentach

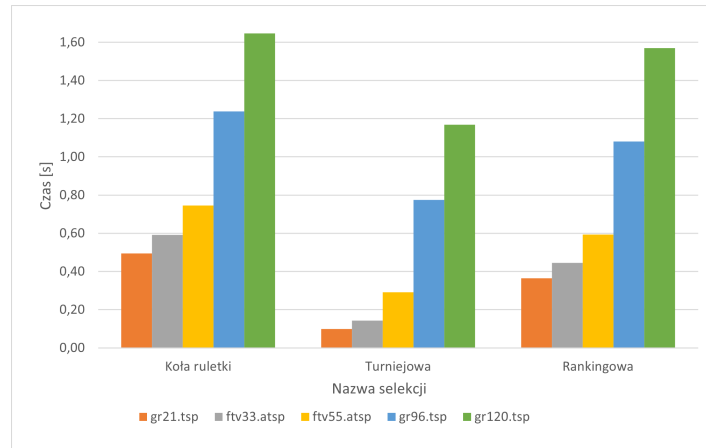


Rysunek 10: Wykres wpływu liczby generacji na błąd względny wyniku algorytmu w zależności od wielkości instancji

3.2.5 SelectionType

Nazwa selekcji	Nazwa instancji				
	gr21.tsp	ftv33.atsp	ftv55.atsp	gr96.tsp	gr120.tsp
Koła ruletki	0,50	0,59	0,74	1,24	1,65
Turniejowa	0,10	0,14	0,29	0,78	1,17
Rankingowa	0,36	0,45	0,59	1,08	1,57

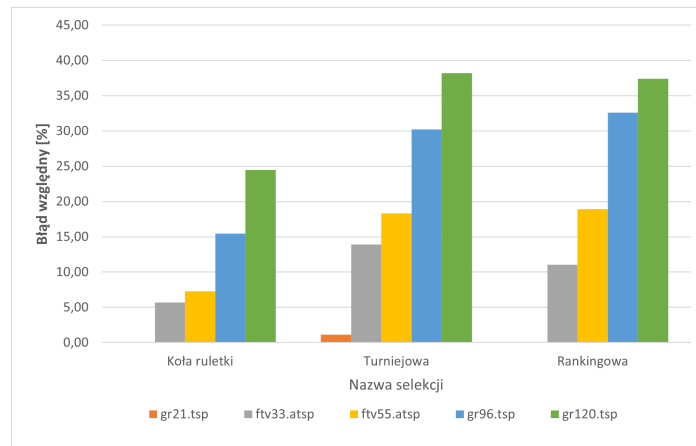
Tabela 9: Tabela wpływu selekcji na czas wykonywania się algorytmu w sekundach



Rysunek 11: Wykres wpływu selekcji na czas wykonywania się algorytmu w zależności od wielkości instancji

Nazwa selekcji	Nazwa instancji				
	gr21.tsp	ftv33.atsp	ftv55.atsp	gr96.tsp	gr120.tsp
Koła ruletki	0,00	5,69	7,26	15,46	24,47
Turniejowa	1,11	13,92	18,35	30,20	38,19
Rankingowa	0,00	11,06	18,89	32,61	37,38

Tabela 10: Tabela wpływu selekcji na błąd względny wyrażony w procentach

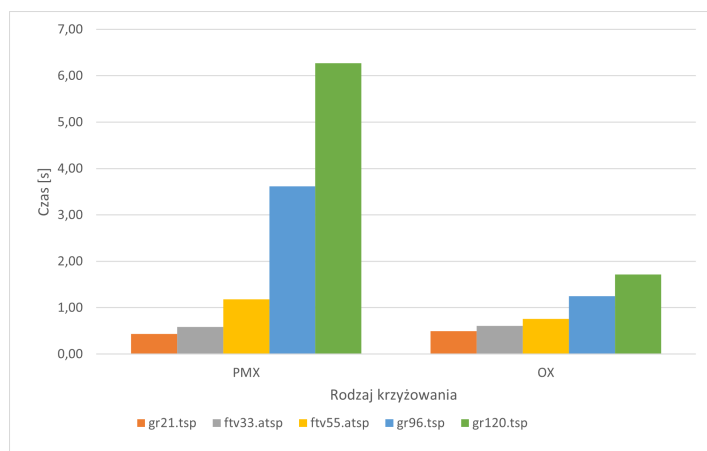


Rysunek 12: Wykres wpływu selekcji na błąd względny wyniku algorytmu w zależności od wielkości instancji

3.2.6 CrossoverType

Rodzaj krzyżowania	Nazwa instancji				
	gr21.tsp	ftv33.atsp	ftv55.atsp	gr96.tsp	gr120.tsp
PMX	0,43	0,58	1,18	3,61	6,27
OX	0,50	0,60	0,76	1,25	1,71

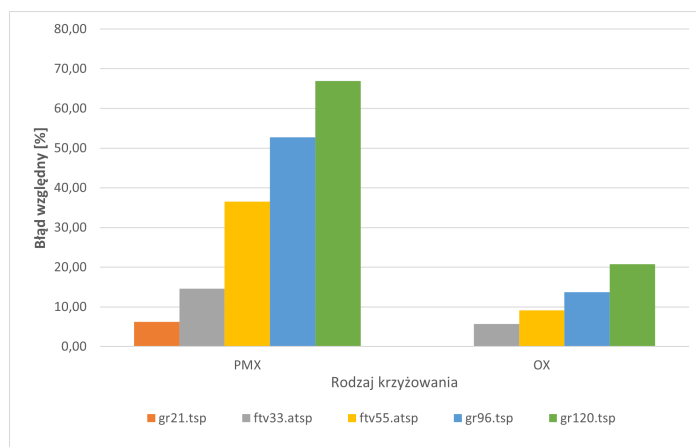
Tabela 11: Tabela wpływu rodzaju krzyżowania na czas wykonywania się algorytmu w sekundach



Rysunek 13: Wykres wpływu rodzaju krzyżowania na czas wykonywania się algorytmu w zależności od wielkości instancji

Rodzaj krzyżowania	Nazwa instancji				
	gr21.tsp	ftv33.atsp	ftv55.atsp	gr96.tsp	gr120.tsp
PMX	6,23	14,57	36,49	52,74	66,87
OX	0,00	5,68	9,13	13,74	20,73

Tabela 12: Tabela wpływu rodzaju krzyżowania na błąd względny wyrażony w procentach



Rysunek 14: Wykres wpływu rodzaju krzyżowania na błąd względny wyniku algorytmu w zależności od wielkości instancji

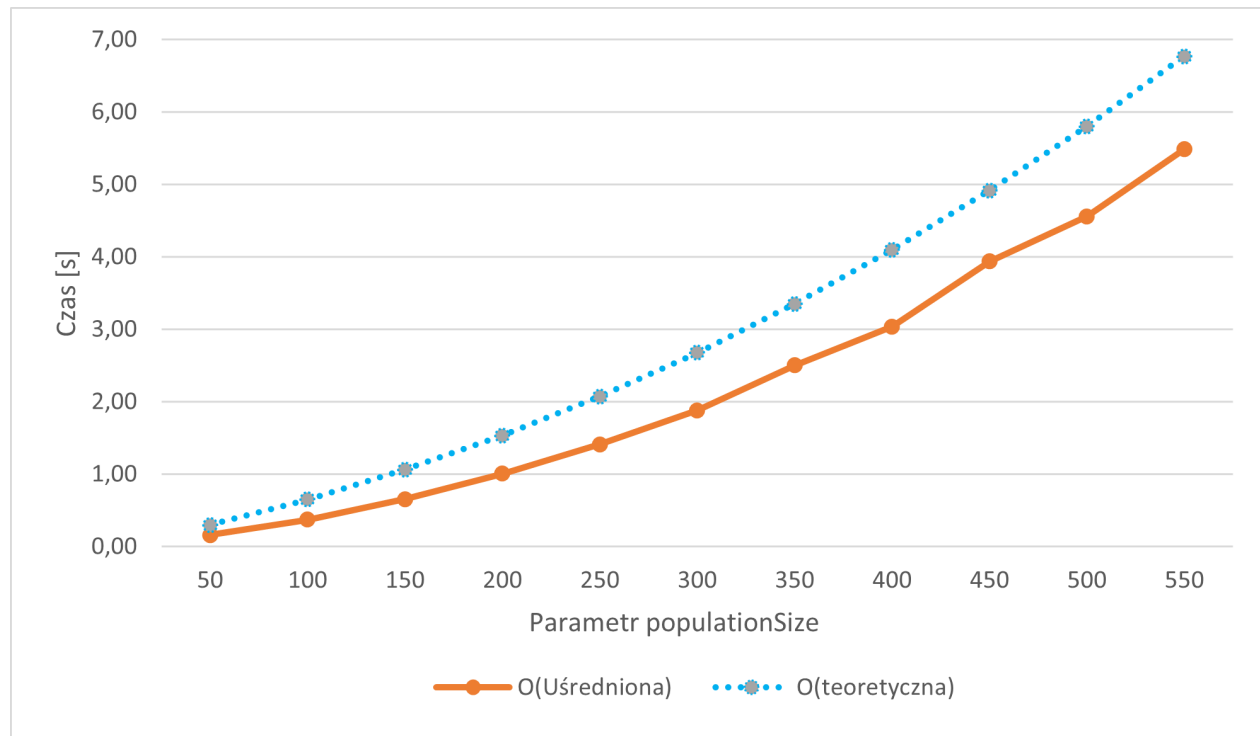
3.3 Zbadanie praktycznej złożoności czasowej algorytmu

W celu zbadania praktycznej złożoności przeprowadzone zostały testy dla 5 instancji ("gr21.tsp", "ftv33.atsp", "ftv55.atsp", "gr96.tsp", "gr120.tsp"), w których zmieniano za każdym razem tylko jeden parametr, od którego była zależna złożoność teoretyczna zapisana wzorem znajdującym się w rozdziale "Czasowa złożoność". Następnie wyniki z 5 instancji uśredniono dla poszczególnych wartości parametrów i zapisano w poniższych tabelach.

3.3.1 Zależność od *populationSize*

Złożoność czasowa	Parametr <i>populationSize</i>										
	50	100	150	200	250	300	350	400	450	500	550
$O(sr)$	0,16	0,37	0,65	1,01	1,41	1,88	2,50	3,03	3,94	4,56	5,49
$O(t)$	0,04	0,18	0,43	0,80	1,29	1,90	2,65	3,52	4,54	5,68	6,97

Tabela 13: Tabela złożoności czasowej dla zmiennego parametru *populationSize*

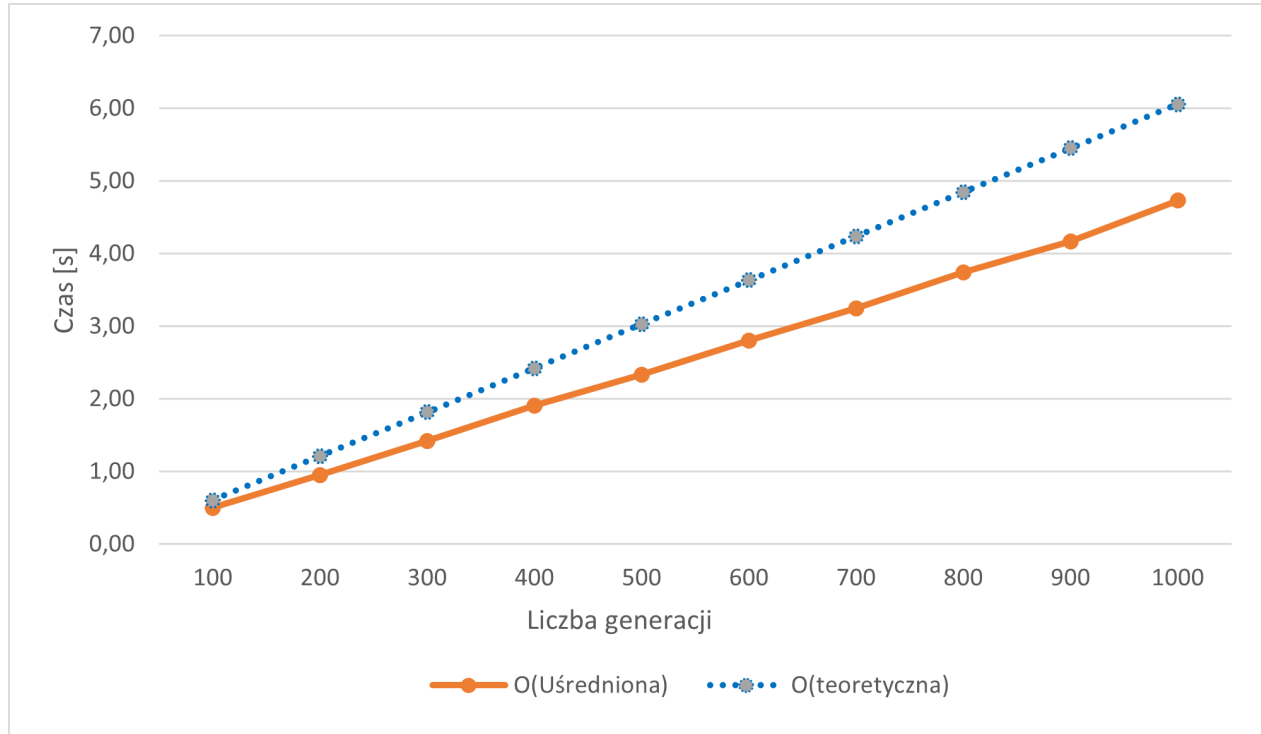


Rysunek 15: Wykres złożoności uśrednionej i teoretycznej dla zmiennego parametru *populationSize*

3.3.2 Zależność od *generationNumber*

Złożoność czasowa	Liczba generacji									
	100	200	300	400	500	600	700	800	900	1000
$O(sr)$	0,50	0,95	1,42	1,91	2,33	2,81	3,25	3,74	4,17	4,73
$O(t)$	0,61	1,21	1,82	2,42	3,03	3,63	4,24	4,85	5,45	6,06

Tabela 14: Tabela złożoności czasowej dla zmiennej liczby generacji



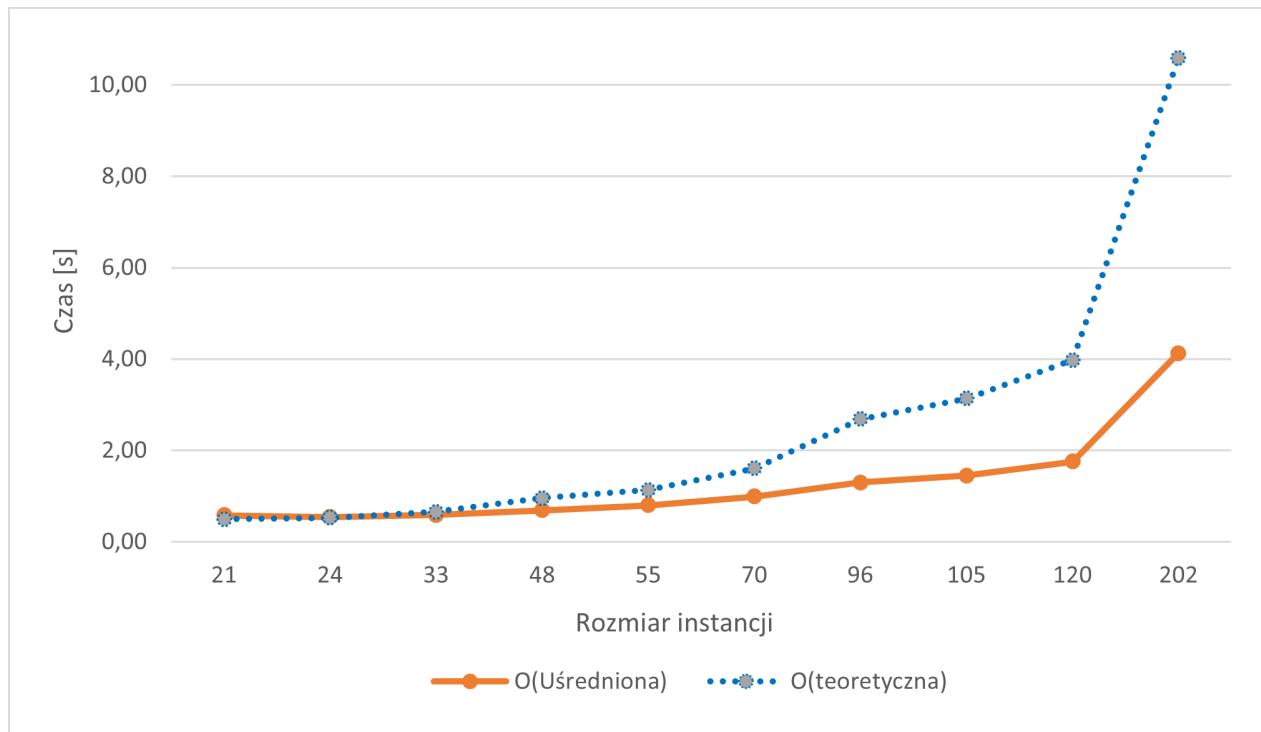
Rysunek 16: Wykres złożoności uśrednionej i teoretycznej dla zmiennej liczby generacji

3.3.3 Zależność od n

W przypadku badania praktycznej złożoności dla zależności od parametru n , wybrano 10 różnych rozmiarów instancji i przeprowadzono po kilka testów czasowych dla algorytmu inicjując go tymi samymi parametrami dla każdej instancji.

Złożoność czasowa	Rozmiar instancji									
	21	24	33	48	55	70	96	105	120	202
$O(sr)$	0,58	0,55	0,59	0,69	0,80	0,99	1,30	1,45	1,76	4,13
$O(t)$	0,49	0,53	0,65	0,96	1,14	1,61	2,69	3,14	3,98	10,58

Tabela 15: Tabela złożoności czasowej dla zmiennej wielkości instancji



Rysunek 17: Wykres złożoności uśrednionej i teoretycznej dla zmiennej wielkości instancji

4 Wnioski

Algorytm genetyczny dzięki swojej inspiracji naturalnym procesem ewolucji biologicznej jest w stanie rozwiązywać problemy optymalizacyjne, bo tak jak natura stara się ewoluować i szukać sposobu do znalezienia jak najlepszego rozwiązania. Analizując otrzymane wyniki dla *GA* można dojść do wniosku, że algorytm ten umożliwia znalezienie w bardzo dobrym czasie rozwiązania, ale zazwyczaj jest to rozwiązanie obciążone błędem. Dlatego też aby zmniejszyć błąd względny otrzymywanych rozwiązań, wprowadzano przeszukiwanie lokalnego sąsiedztwa rozwiązań, metoda ta odróżnia algorytm genetyczny od algorytmu memetycznego. Jak można zauważyć na wykresach wpływu parametru *probability* odpowiedzialnego za częstotliwość występowania tego przeszukiwania, można stwierdzić, że zmniejsza w każdym przypadku błąd rozwiązania przy nieznacznym wpływie na czas wykonywania się algorytmu. Dla prawdopodobieństwa równego 0.1 występuje pogorszenie wyniku, jest to spowodowane tym, że wykonuje się wtedy tylko metoda odpowiedzialna za losowe wybieranie genów do mutacji, co sprawia, iż w populacji pojawiają się osobniki, które mogą zawierać gorsze rozwiązania. W przypadku badania wpływu parametrów *populationSize* oraz *generationNumber* sytuacja jest trochę inna. Parametry te zwiększają liniowo czas wykonywania się algorytmu i zmniejszają o trochę błąd wraz z wzrostem ich wartości. Wpływ *populationCopyNumber* na działanie algorytmu jest znikomy, wykresy czasu są wykresami stałymi, a zmiana wartości błędu występuje tylko dla pewnych losowych przypadków.

W sprawie typu selekcji rodziców zaobserwować można, że najszybszą metodą wyboru jest selekcja turniejowa, wynika to z faktu, że w jej przypadku nie potrzeba sortować populacji, tak jak w dwóch pozostałych metodach. Ale za to selekcją, która znajduje rozwiązania o najmniejszym błędzie względnym wyniku jest selekcja koła ruletki. Metoda selekcji, która najgorzej wpływa na pracę algorytmu jest selekcja rankingowa. Uzyskuje ona najgorsze czasy i wyniki spośród pozostałych metod.

W odniesieniu do tabeli i wykresów przedstawiających uzyskane wyniki dla rodzajów krzyżowania, można zauważyć, że zdecydowanie lepszą metodą jest *OX*, ponieważ uzyskuje lepsze wyniki w lepszym czasie niż *PMX*.

Jeśli mowa o wynikach badań złożoności spostrzec można, że uzyskane wyniki praktycznej złożoności czasowej są zbliżone do oszacowanej złożoności teoretycznej wynoszącej:

$$O(\text{generationNumber} \cdot \text{populationSize}(\text{populationSize} \cdot \log_2(\text{populationSize}) + n^2)).$$

Natomiast jeśli mowa o pamięciowej złożoności algorytmu, wynosi najprawdopodobniej $O(\text{populationSize} \cdot n)$, ponieważ nie została ona zbadana, a jedynie została oszacowana na podstawie analizy kodu algorytmu.

Podsumowując, algorytm genetyczny jest dobrym algorytmem do rozwiązywania problemu komiwojażera, w momencie, w którym zależy na czasie i rozwiązaniu, które nie będzie rozwiązaniem optymalnym, więc będzie obciążone pewnym błędem, który można zmniejszyć za pomocą odpowiedniego dobrania parametrów kosztem czasu wykonywania się algorytmu, albo wzbogacając *GA* o metodę działania algorytmu memetycznego.